

Index

(I) イントロ

(II) ハミルトン閉路, その他のための必要条件

- ✓ Grinberg の必要条件
- ✓ タフネス型の必要条件

(III) Tutte 閉路・道, 命題と証明

- ✓ Thomassen によるもの
- ✓ 河原林 & 小関による新しいもの

(IV) Tutte 閉路・道の利用

- ✓ 3-連結 3-正則平面グラフ
- ✓ 本型埋め込み

3-正則平面グラフ

系

G : 閉路的-4-辺連結 3-正則平面グラフ

$\Rightarrow G$ は長さ $\frac{3}{4}|G|$ 以上の閉路を持つ

G : 閉路的-4-辺連結

$\Leftrightarrow \leq 3$ 辺カットは 1 点を切り離すもののみ

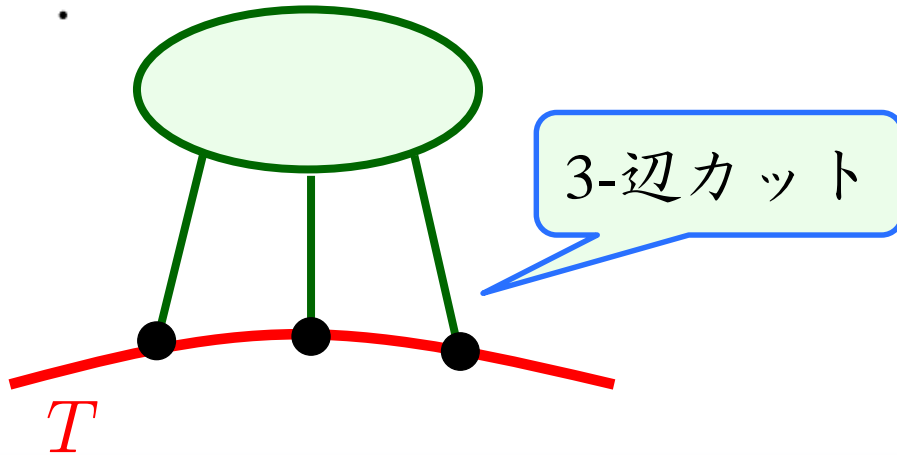
3-正則平面グラフ

G : 閉路的-4辺連結 3-正則平面グラフ

T : G の Tutte 閉路

$\Rightarrow T$: 支配閉路 ($G - V(T)$ は孤立点の集合)

⋮



さらに $\forall u, v \in V(G) - V(T)$ で,

$N_G(u) \cap N_G(v) = \emptyset$ なので

$|T| \geq 3(|G| - |T|)$ が得られる

3-正則平面グラフ

予想 (Barnette, '69)

G : 3-連結 3-正則平面二部グラフ
 $\Rightarrow G$ はハミルトン閉路を持つ.

- ✓ 「二部グラフ」は必要 (演習 1. 参照)
 - ✓ Barnette 予想は、下の二つの予想とそれぞれ同値.
- (A) G : 閉路的-4-辺連結 3-正則平面二部グラフ (Kelmans, '94, '03)
 $\Rightarrow G$ はハミルトン閉路を持つ.
- (B) $\exists \alpha$: 正の定数 s.t. G : 3-連結 3-正則平面二部グラフ
 $\Rightarrow G$ は長さ $\alpha |G|$ 以上の閉路を持つ. (Harant, '13)

3-正則平面グラフ

系

G : 閉路的-4辺連結 3-正則平面グラフ

$\Rightarrow G$ は長さ $\frac{3}{4}|G|$ 以上の閉路を持つ

二つ合わせて上を使えば Barnette 予想が解決か?? → NO

各種条件は最善か??

演習番外 5. :

上の係数 $3/4$ を (二部グラフで) 改良せよ

3-正則平面グラフ

予想 (Bondy '89)

$\exists \alpha : \text{正の定数 s.t. } G : \text{閉路的-4-辺連結 } 3\text{-正則グラフ}$

$\Rightarrow G$ は長さ $\alpha |G|$ 以上の閉路を持つ.

各種条件は最善か??

Bondy 予想 ('89) : 上の系は ``平面'' を仮定しなくとも,

$3/4$ を何らかの定数にすれば正しい

3-正則平面グラフ

予想 (Bondy '89)

$\exists \alpha : \text{正の定数 s.t. } G : \text{閉路的-4-辺連結 } 3\text{-正則グラフ}$

$\Rightarrow G \text{ は長さ } \alpha |G| \text{ 以上の閉路を持つ.}$

Known: Bondy 予想は下の上の予想より弱く, 下の予想より強い.

Thomassen 予想 ('86) : $G : 4\text{-連結 line グラフ}$

$\Rightarrow G : \text{ハミルトン閉路を持つ}$

弱 Thomassen 予想 : $G : 4\text{-連結 line グラフ, 最小次数} \geq 5$

$\Rightarrow G : \text{ハミルトン閉路を持つ}$

Index

(I) イントロ

(II) ハミルトン閉路, その他のための必要条件

- ✓ Grinberg の必要条件
- ✓ タフネス型の必要条件

(III) Tutte 閉路・道, 命題と証明

- ✓ Thomassen によるもの
- ✓ 河原林 & 小関による新しいもの

(IV) Tutte 閉路・道の利用

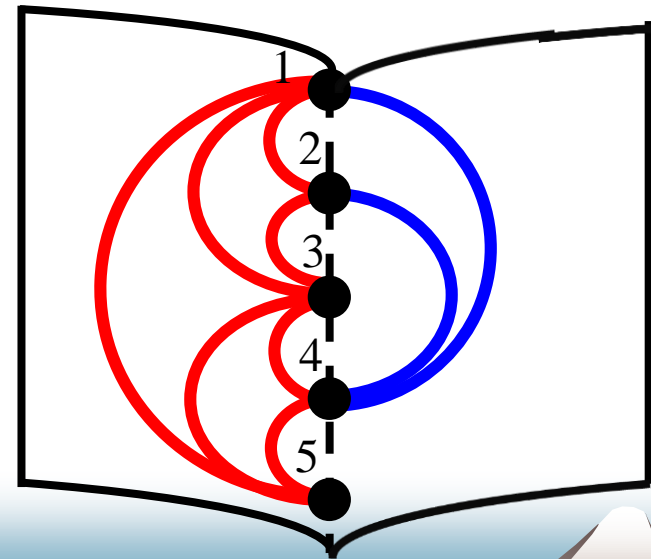
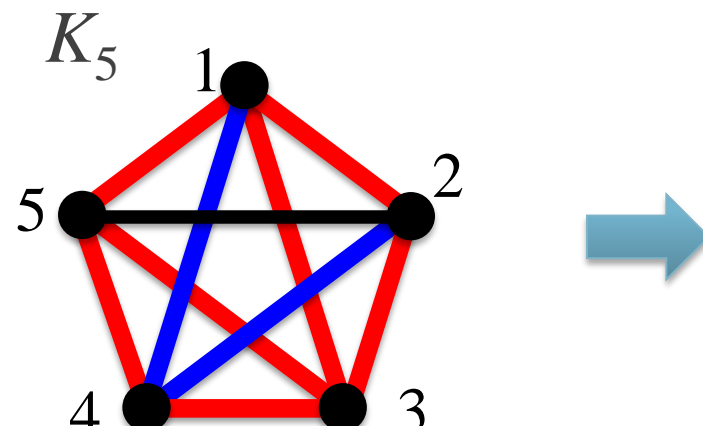
- ✓ 3-連結 3-正則平面グラフ
- ✓ 本型埋め込み

グラフの本型埋め込み

グラフ G の**本型埋め込み**

G の**本型空間**への埋め込みで以下を満たすもの

- ・全頂点が**背表紙 (spine)**に埋め込まれている
- ・各辺はいずれかのページに交差なく描かれている



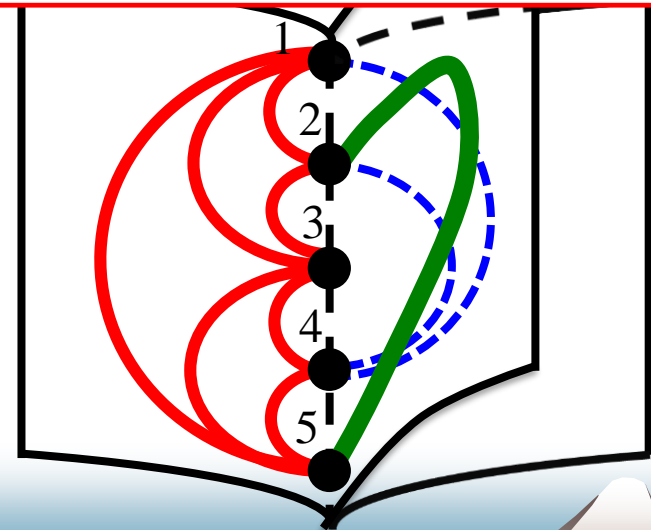
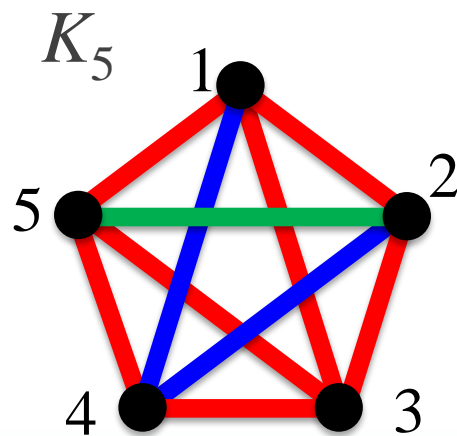
グラフの本型埋め込み

グラフ G の**本型埋め込み**

G の**本型空間**への埋め込みで以下を満たすもの

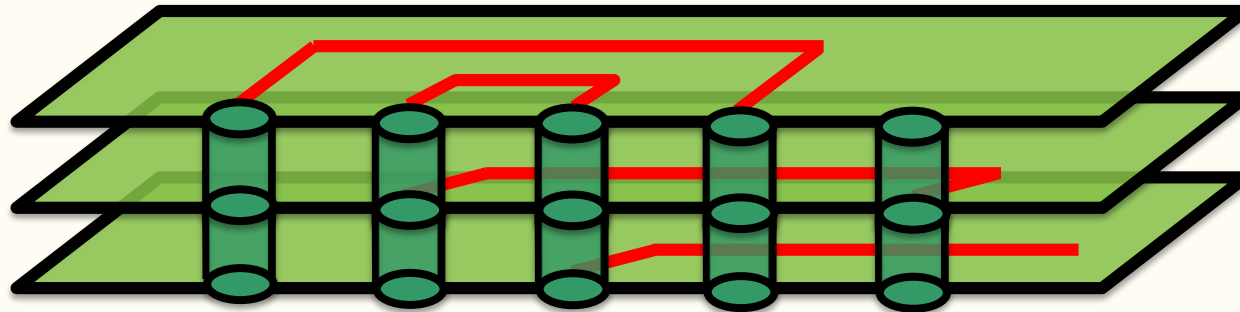
- ・全頂点が**背表紙 (spine)**に埋め込まれている
- ・各辺はいずれかのページに交差なく描かれている

$$p(G) = \min\{ k : G \text{ は } k \text{ ページ本型埋め込みを持つ} \}$$



本型埋め込みの応用

- ✓ VLSI (Very Large Scale Integration)



devices = 頂点

wiring = 辺

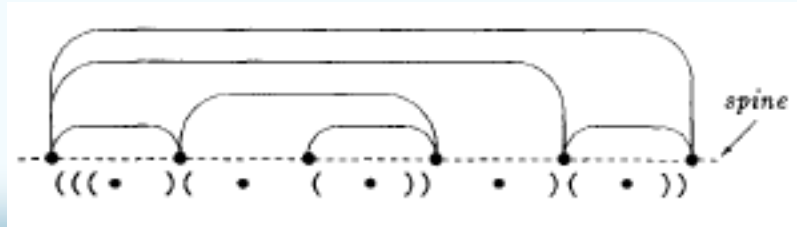
boards = ページ

- ✓ Stack Data Structure

data = 頂点

pointers = 辺

stack layout = 背表紙



正しい(と)の列をコード化する
G. Jacobson, '89

本型埋め込みの応用

✓ RNA structure

bases = 頂点

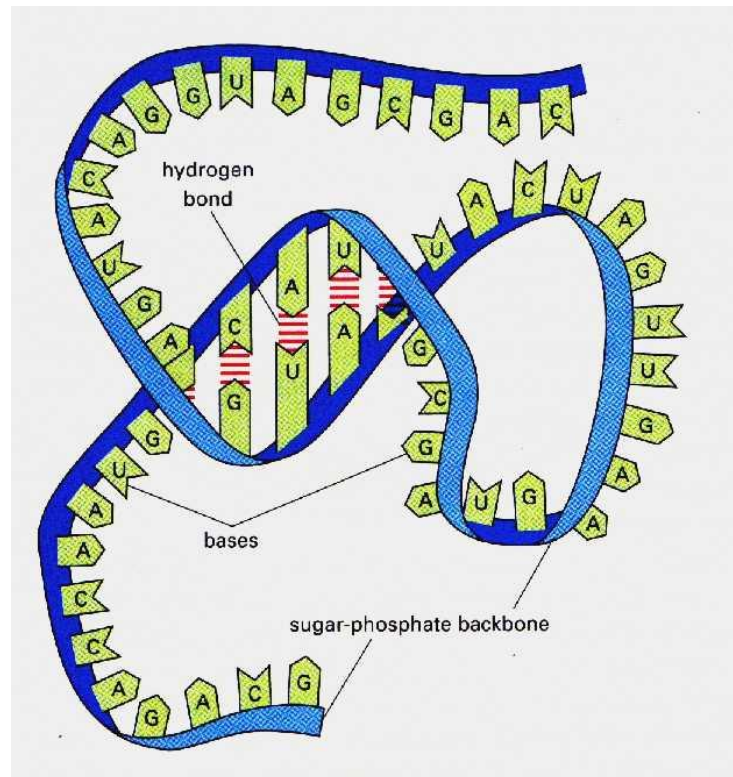
hydrogen bonds = 辺

Sugar-phosphate backbone = 背表紙

Pseudo-knot 性

(= 2 page 埋め込み可能性) が
重要な要素となる (らしい)

C. Haslinger, P.F. Stadler, '99



<http://www.uic.edu/classes/phys/phys461/phys450/ANJUM04/>

各種グラフのページ数

$$p(K_n) = \lceil \frac{n}{2} \rceil \quad \text{for } n \neq 3 \quad (\text{Bernhart, Kainen, '79})$$

$$p(K_{n,m}) \leq \lfloor \frac{n+m}{3} \rfloor + 1 \quad (\text{Enomoto, Nakamigawa, Ota '97})$$

$$p(G) = O(\sqrt{|E(G)|}) \quad (\text{Malitz '94})$$

$p(G)$ の計算問題は 平面グラフ に対して できえ **NP-困難**.

$$G : \text{平面グラフ} \Rightarrow p(G) \leq 4 \quad (\text{Yanakakis '86})$$

問題: $p(G) \leq 3$??

$$G : \text{種数 } g \text{ のグラフ} \Rightarrow p(G) = O(g) \quad (\text{Heath, Istrail '92})$$

$$p(G) = O(\sqrt{g}) \quad (\text{Malitz '94})$$

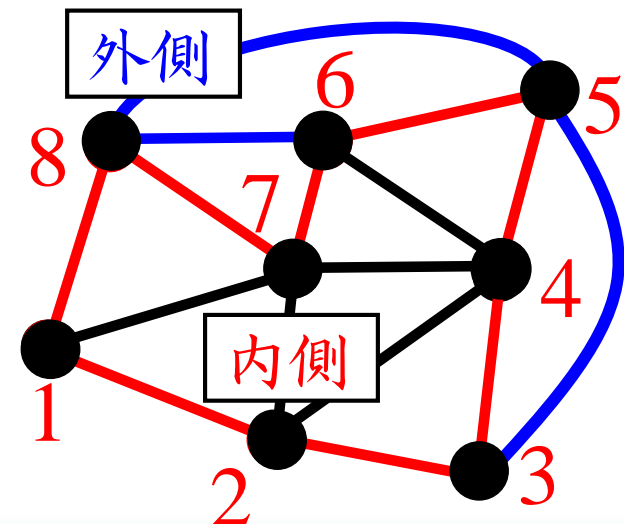
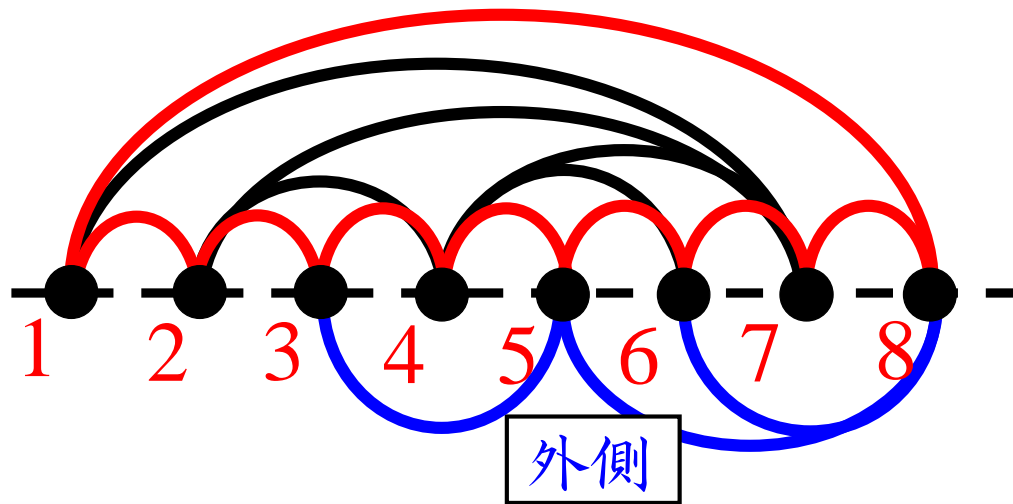
1 or 2 ページ埋め込み

命題. (Bernhart, Kainen '79)

\exists 1ページ埋め込み in $G \Leftrightarrow G$: 外平面的

\exists 2ページ埋め込み in G

$\Leftrightarrow G$: ハミルトン閉路を持つ平面的グラフの部分グラフ



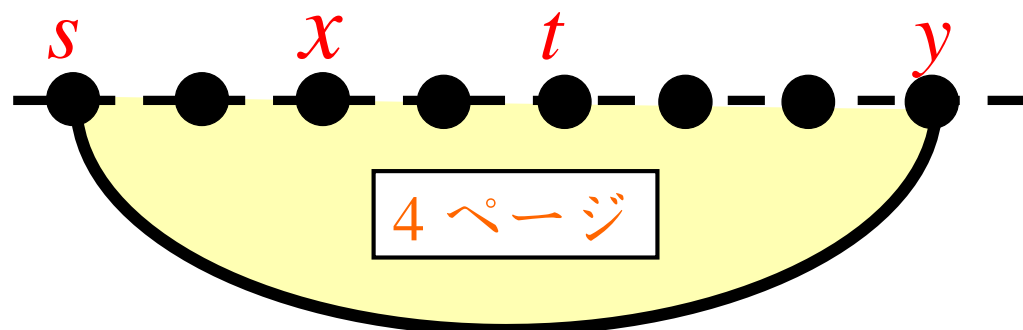
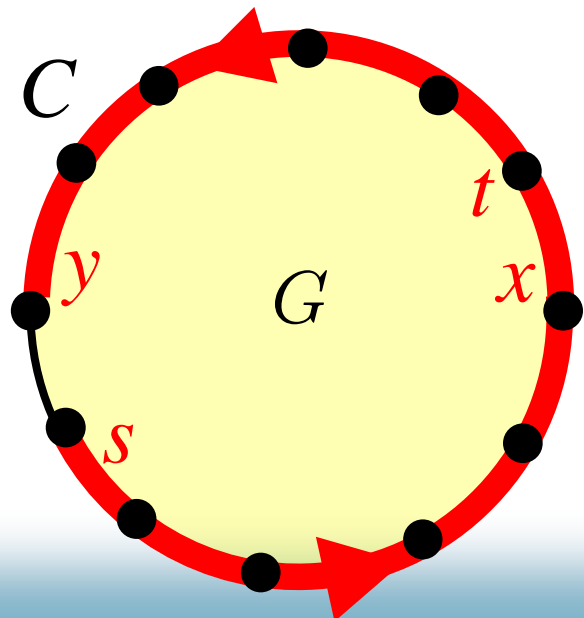
平面グラフの本型埋め込み

定理. (Yanakakis '86)

G : 2-連結平面グラフ, C : 外領域の境界閉路

$\Rightarrow \exists$ 4ページ埋め込み in G

s.t. C は 背表紙 にその順に表れる



閉曲面上のグラフのページ数

定理. (Yanakakis '86)

G : 2-連結平面グラフ, C : 外領域の境界閉路
 $\Rightarrow \exists$ 4ページ埋め込み in G
s.t. C は 背表紙 にその順に表れる

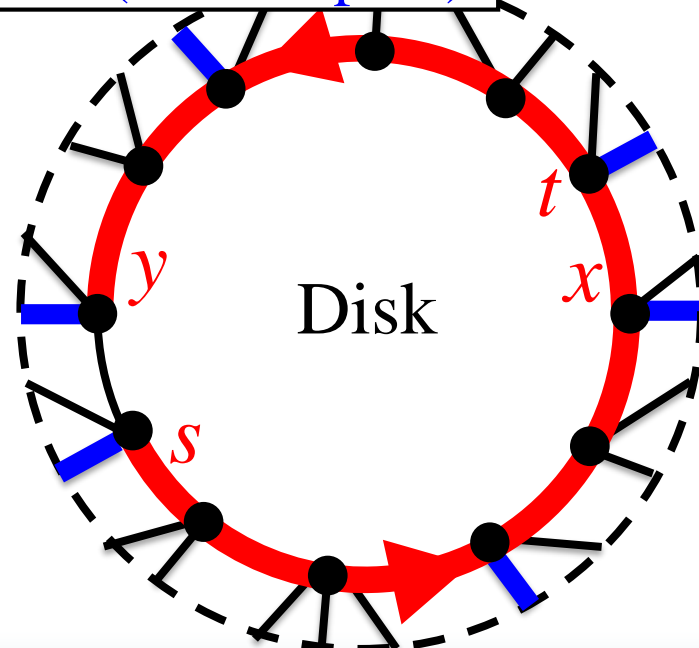
平面	射影平面	トーラス	種数 g	(向付け可能) 局所平面的
上界 ≤ 4 (Yanakakis '86)	≤ 6 (中本, 野澤 小関 '15+)	≤ 7 (Endo '97)	$O(\sqrt{g})$ (Malitz '94)	≤ 7 (中本, 野澤, '14+)
下界 ≥ 3 (最善性) 三角形分割 with $\nsubseteq H$ -閉路	≥ 3	≥ 4 K_7	$\Omega(\sqrt{g})$ 完全グラフ	≥ 3

素朴な方法

定理(中本, 野澤, 小関'15+)

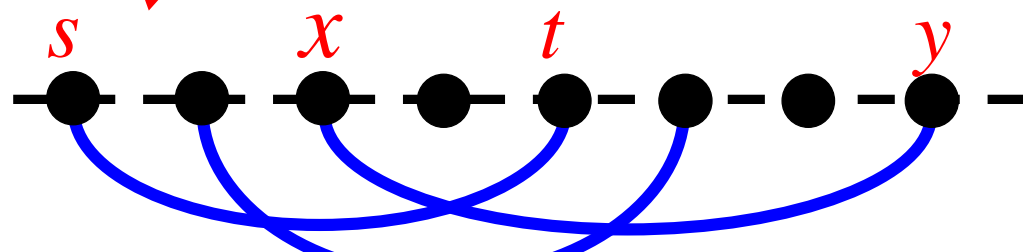
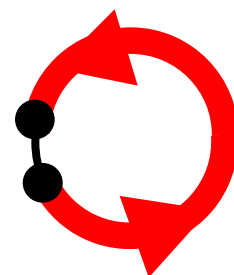
G : 射影平面上のグラフ $\Rightarrow \exists$ 6ページ埋め込み

外側 (cross cap 側)



内側は 4 ページ

(Yanakakis の定理)



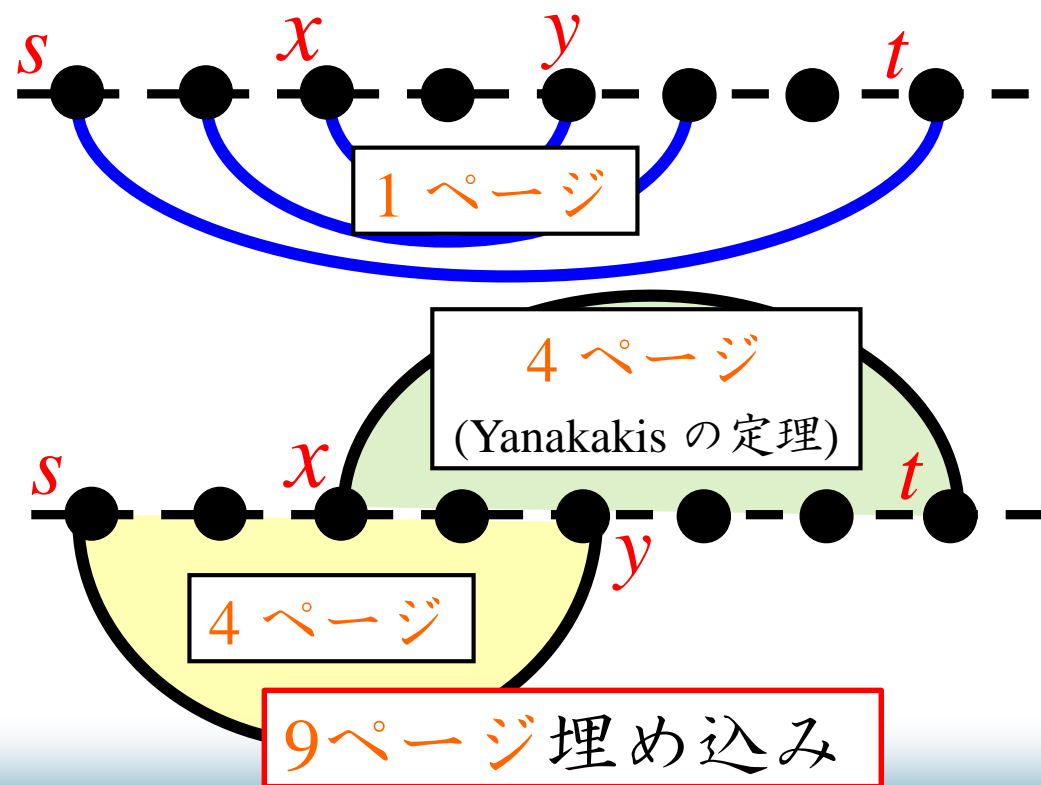
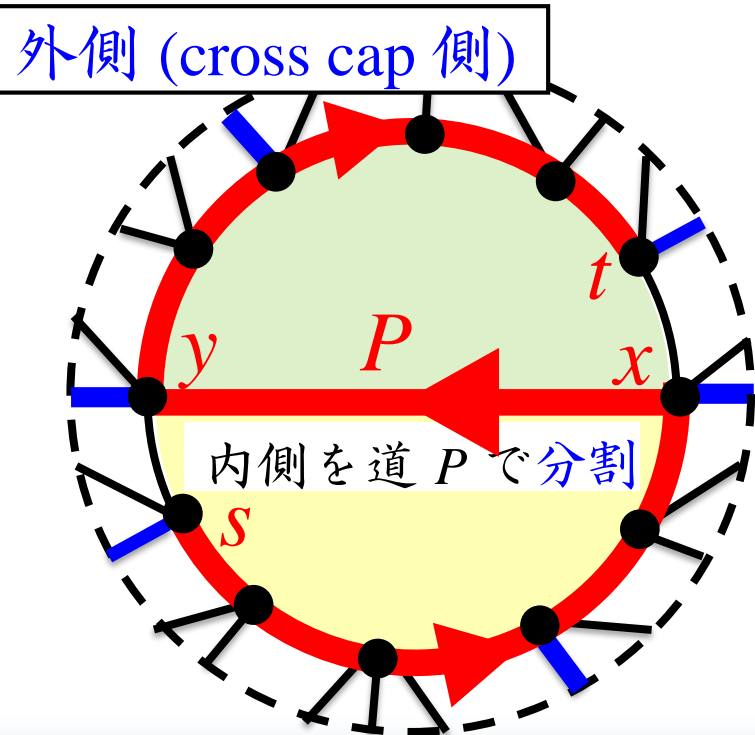
外側 (cross cap 側)

頂点がこの順ではうまくない

9ページの証明

定理(中本, 野澤, 小関'15+)

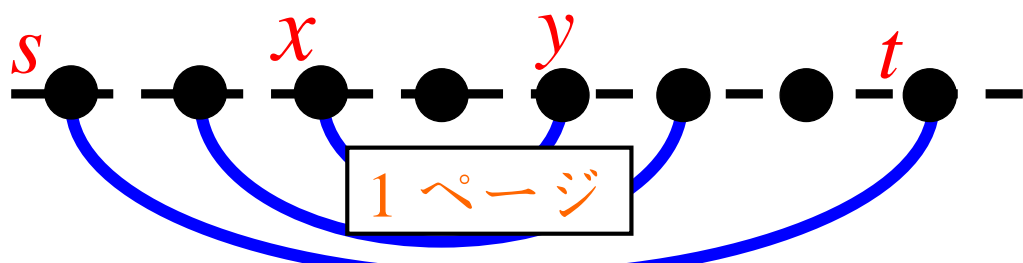
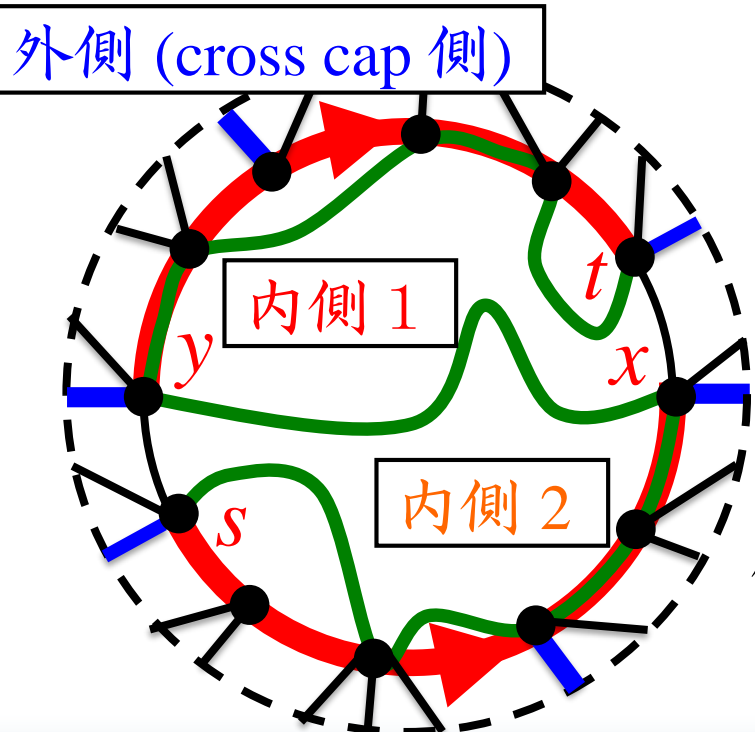
G : 射影平面上のグラフ $\Rightarrow \exists$ 6ページ埋め込み



改良のアイデア

定理(中本, 野澤, 小関 '15+)

G : 射影平面上のグラフ $\Rightarrow \exists$ 6ページ埋め込み



・ disk 部分を改良する

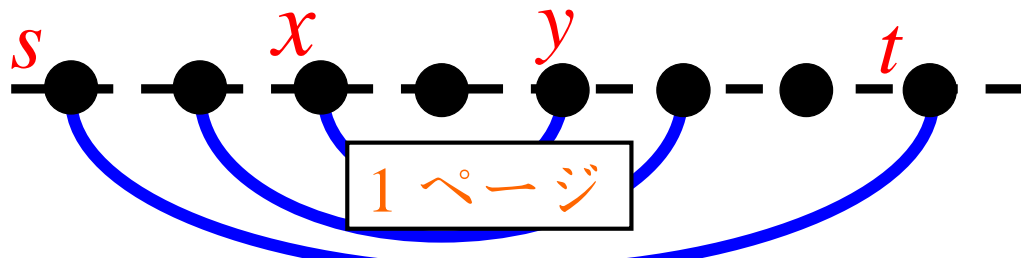
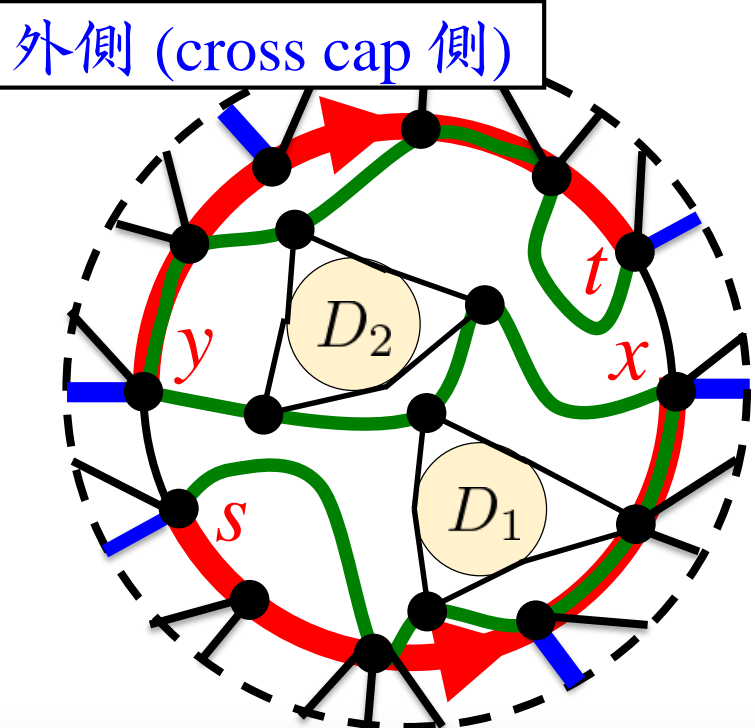
注: \rightarrow の順は固定

例: s から x, y を通り t までの
ハミルトン道が存在する場合には,
3ページ埋め込みがある

改良のアイデア

定理(中本, 野澤, 小関 `15+)

G : 射影平面上のグラフ $\Rightarrow \exists$ 6ページ埋め込み



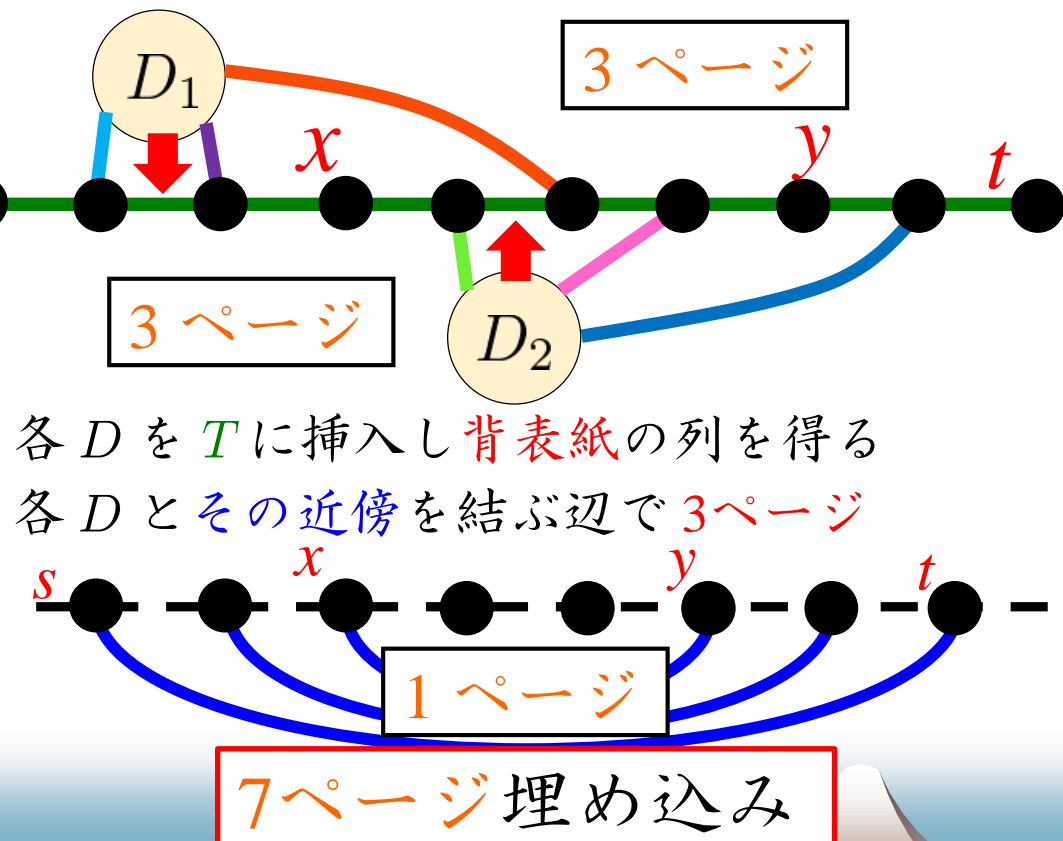
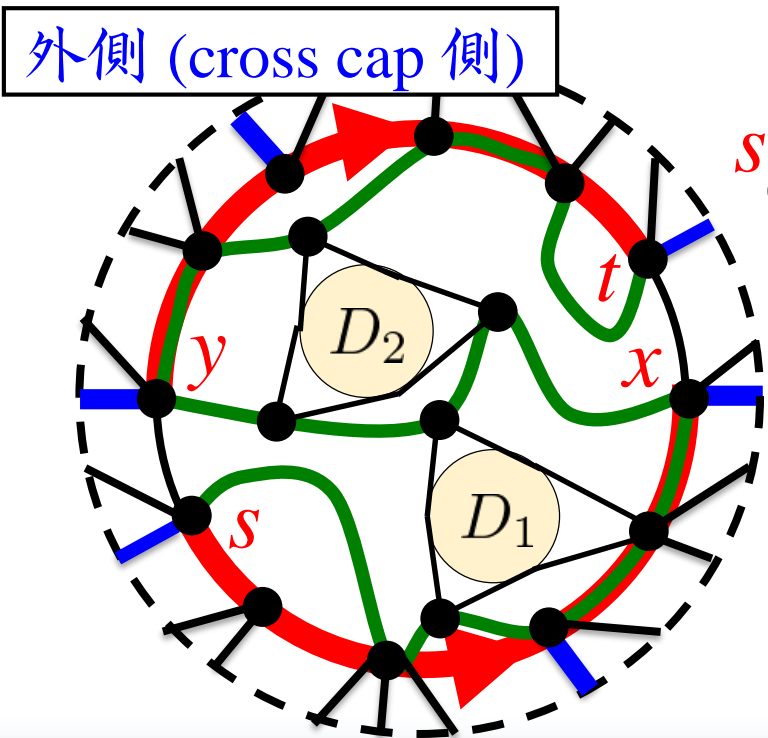
- disk 部分を改良する
注: \rightarrow の順は固定
ハミルトン道はなくとも . . .

\exists Tutte 道 s.t. $s \xrightarrow{x, y} t$

演習番外 6.: これを示せ.

改良のアイデア

さらに、外側の辺を適切なページに割り当てることで 6ページ



閉曲面上のグラフのページ数

定理(中本, 野澤, 小関 `15+)

G : 射影平面上のグラフ $\Rightarrow \exists$ 6ページ埋め込み

平面	射影平面	トーラス	種数 g	(向付け可能) 局所平面的
上界 ≤ 4 (Yanakakis `86)	≤ 6 (中本, 野澤 小関 `15+)	≤ 7 (Endo `97)	$O(\sqrt{g})$ (Malitz `94)	≤ 7 (中本, 野澤, `14+)
下界 ≥ 3 (最善性) 三角形分割 with \nexists H-閉路	≥ 3	≥ 4 K_7	$\Omega(\sqrt{g})$ 完全グラフ	≥ 3

トーラス上のグラフのページ数

演習 5. : (I) トーラス上のグラフは,

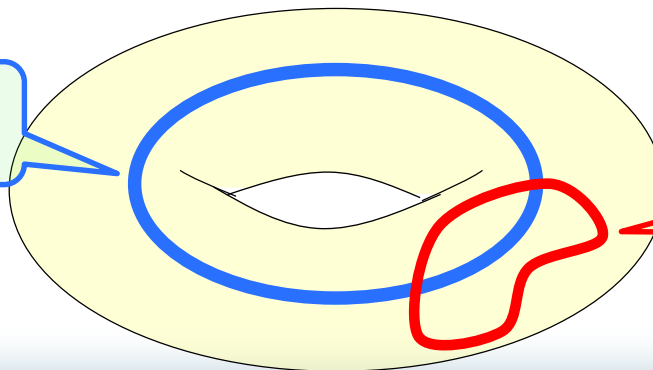
contractible なハミルトン閉路を持てば

5ページ埋め込みを持つことを示せ

(II) これは 4ページ埋め込みへ拡張できるか?

Non-contractible

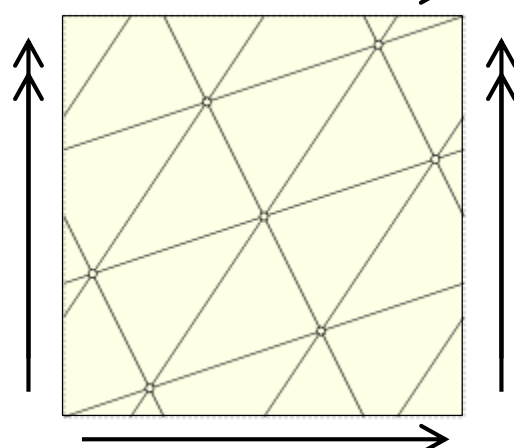
contractible



Contractible なハミルトン閉路

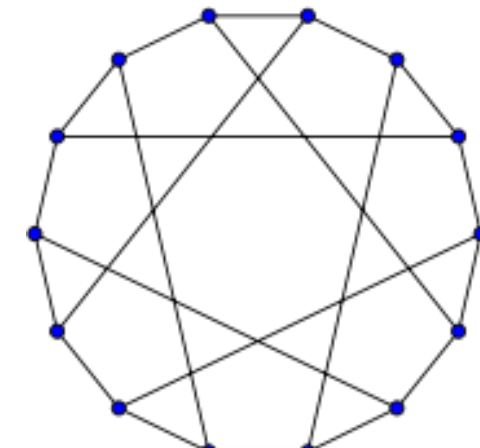
演習 6. :

K_7 の dual としてトーラスに埋め込まれた Heawood グラフは
contractible なハミルトン閉路を持たないことを示せ.



トーラス上の K_7

dual



Heawood グラフ

<http://www.amotlpaa.org/math/k7torus.html>

https://en.wikipedia.org/wiki/Heawood_graph

追加の応用と演習

演習 7.：下の予想に関して，以下を示せ.

予想 (Malkevitch `88)

G : 長さ 4 の閉路を含む 4-連結平面グラフ
 $\Rightarrow G$: **pancyclic** (長さ 3 ~ $|G|$ の閉路をすべて含む)

- (I) 「長さ 4 の閉路を含む」という仮定は必要である.
- (II) 「長さ 3 の閉路を含む」という仮定は必要ない.
- (III) $|G| \geq 5$ ならば，長さ $|G|, |G| - 1, |G| - 2$ の閉路を持つ.
- (IV) 予想は三角形分割に限定すると正しい.

では、演習を
がんばってください

